

# Beágyazott párok erős stabilitást őrző explicit Runge-Kutta módszerekre

Imre Fekete<sup>a</sup>, Sidafa Conde<sup>b</sup>, John Shadid<sup>b</sup>

<sup>a</sup>*Alkalmazott Analízis és Számításmatematikai Tanszék  
Matematikai Intézet*

<sup>b</sup>*Sandia National Laboratories, USA*

**Tématerületi Kiválósági Program Workshop**  
**Nemzeti Kutatási, Fejlesztési és Innovációs Hivatal**

*2021. június 11.*



NATIONAL RESEARCH, DEVELOPMENT  
AND INNOVATION OFFICE  
HUNGARY

PROGRAM  
FINANCED FROM  
THE NRDI FUND

# SSP elmélet dióhéjban

Hiperbolikus megmaradási törvények

$$U_t + f(U)_x = 0$$

# SSP elmélet dióhéjban

Hiperbolikus megmaradási törvények

$$U_t + f(U)_x = 0$$

KDE rendszer

$$u_t = F(u)$$

# SSP elmélet dióhéjban

Hiperbolikus megmaradási törvények

$$U_t + f(U)_x = 0$$

KDE rendszer

$$u_t = F(u)$$

Explicit Euler feltétel

$$\|u^n + \Delta t F(u^n)\| \leq \|u^n\|, \quad 0 \leq \Delta t \leq \Delta t_{FE}$$

# SSP elmélet dióhéjban

Hiperbolikus megmaradási törvények

$$U_t + f(U)_x = 0$$

KDE rendszer

$$u_t = F(u)$$

Explicit Euler feltétel

$$\|u^n + \Delta t F(u^n)\| \leq \|u^n\|, \quad 0 \leq \Delta t \leq \Delta t_{FE}$$

**SSP** (erős stabilitást őrző) tulajdonság

$$\|u^{n+1}\| \leq \|u^n\| \quad \text{hogy} \quad \Delta t \leq C \Delta t_{FE}$$

- rend:  $p-1$
- nem defektív
- egyszerű struktúra
- maximális  $\mathcal{C}$ ; ha nem lehetséges normál beágyazott pár



### Stabilitási

- Abszolút stabilitási valós tengely metszet
- Abszolút stabilitási képzetes tengely metszet
- Kör kontraktivitás
- Abszolút monotonicitási sugár

### Stabilitási

- Abszolút stabilitási valós tengely metszet
- Abszolút stabilitási képzetes tengely metszet
- Kör kontraktivitás
- Abszolút monotonicitási sugár

### Lokális csonkolási [Kennedy, Carpenter, Lewis]

- $A_2^{(p+1)} = \|\tau^{(p+1)}\|_2$
- $B_2^{(p+1)} = A_2^{(p+1)} / A_2^{(p)}$
- $C_2^{(p+1)} = \|\tilde{\tau}^{(p+1)} - \tau^{(p+1)}\|_2 / \|\tilde{\tau}^{(p)}\|_2$
- $D = \max\{|a_{ij}|, |c_i|, |b_i^T|, |\tilde{b}_i^T|\}$

$$\begin{pmatrix} A & 0 \\ \tilde{b}^T & 0 \end{pmatrix} \left( I + \tilde{C} \begin{pmatrix} A & 0 \\ \tilde{b}^T & 0 \end{pmatrix} \right)^{-1} \geq 0$$

$$\left\| \tilde{C} \begin{pmatrix} A & 0 \\ \tilde{b}^T & 0 \end{pmatrix} \left( I + \tilde{C} \begin{pmatrix} A & 0 \\ \tilde{b}^T & 0 \end{pmatrix} \right)^{-1} \right\|_{\infty} \leq 1$$

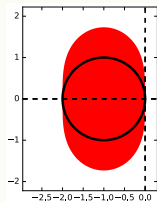
Rendfeltételek negyedrenddel bezárólag

$$F(A, b^T, \tilde{w}) = \begin{bmatrix} \tilde{A}_2^{(p)} & \tilde{A}_\infty^{(p)} \\ \begin{pmatrix} B_2^{(p+1)} - 1 \\ C_2^{(p+1)} - 1 \end{pmatrix} & \begin{pmatrix} B_\infty^{(p+1)} - 1 \\ C_\infty^{(p+1)} - 1 \end{pmatrix} \end{bmatrix}$$

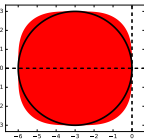
$$\arg \min_{\tilde{w}} \|F(A, b^T, \tilde{w})\|_\infty$$

$$\text{subject to } \tau_k(A, \tilde{w}) = 0, \quad k = 1, \dots, 8$$

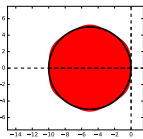
$$\tilde{w} \geq 0$$



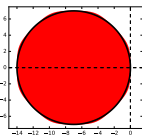
(a)  $s = 2$



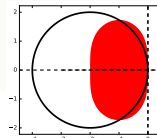
(b)  $s = 4$



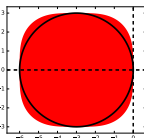
(c)  $s = 6$



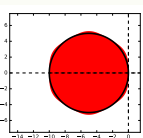
(d)  $s = 8$



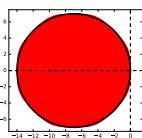
(e)  $s = 2$



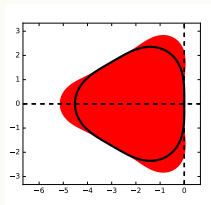
(f)  $s = 4$



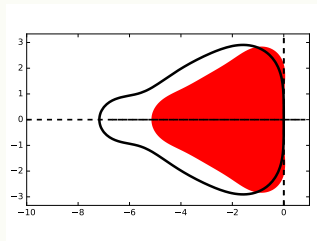
(g)  $s = 6$



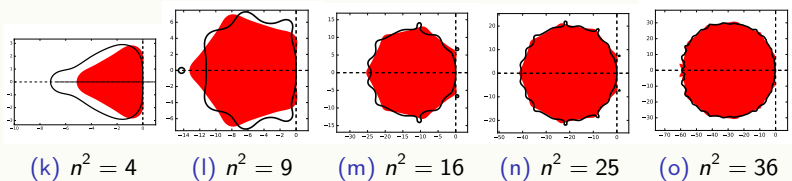
(h)  $s = 8$



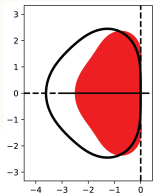
(i) irodalmi pár



(j) a mi módszerünk



0			
1	1		
$\frac{1}{2}$	$\frac{1}{4}$	$\frac{1}{4}$	
	$\frac{1}{6}$	$\frac{1}{6}$	$\frac{2}{3}$
	0.291485418878409	0.291485418878409	0.417029162243181



$$\frac{\partial}{\partial t} \begin{bmatrix} \rho \\ \rho u \\ E \end{bmatrix} + \nabla \cdot \begin{bmatrix} \rho u \\ \rho u^2 + p \\ (E + p)u \end{bmatrix} = 0$$

$$\frac{\partial}{\partial t} \begin{bmatrix} \rho \\ \rho u \\ E \end{bmatrix} + \nabla \cdot \begin{bmatrix} \rho u \\ \rho u^2 + p \\ (E + p)u \end{bmatrix} = 0$$

### *Klasszikus irodalmi párok*

Fehlberg12

RKF23

Ceshino24

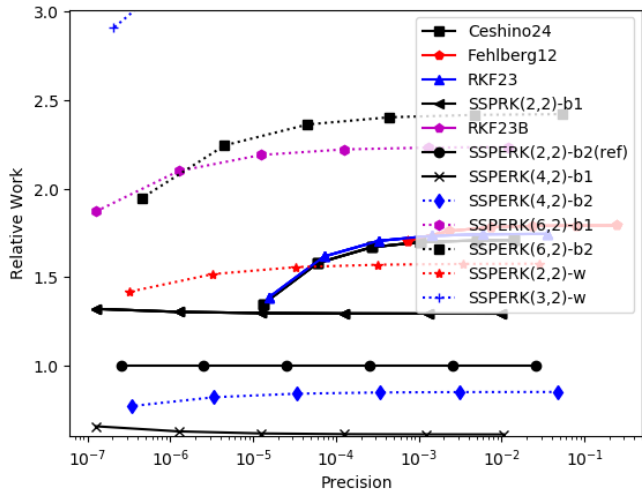
BogackiShampine32

Zonneveld43

DormandPrince54

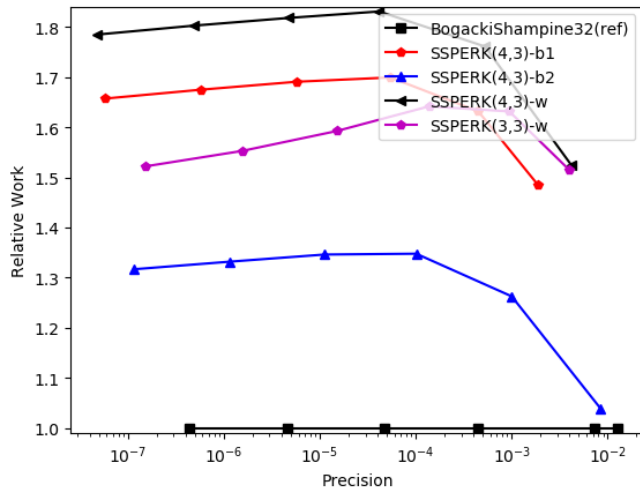
Merson45

Fehlberg45

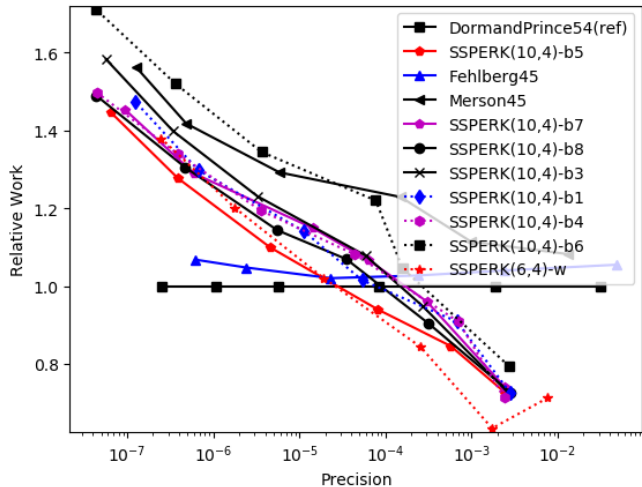


PROGRAM  
FINANCED FROM  
THE NRDI FUND

HUNGARY



PROGRAM  
FINANCED FROM  
THE NRDI FUND



PROGRAM  
FINANCED FROM  
THE NRDI FUND

# Eredményeink felhasználása

# Eredményeink felhasználása

## Python csomagok

*RK-Opt: A package for the design of numerical ODE solvers*

*NodePy: A package for the analysis of numerical ODE solvers*

# Eredményeink felhasználása

## Python csomagok

*RK-Opt: A package for the design of numerical ODE solvers*

*NodePy: A package for the analysis of numerical ODE solvers*

## Sandia National Laboratories, USA

*Szuperszámítógépes szimulációk*

# Eredményeink felhasználása

## Python csomagok

*RK-Opt: A package for the design of numerical ODE solvers*

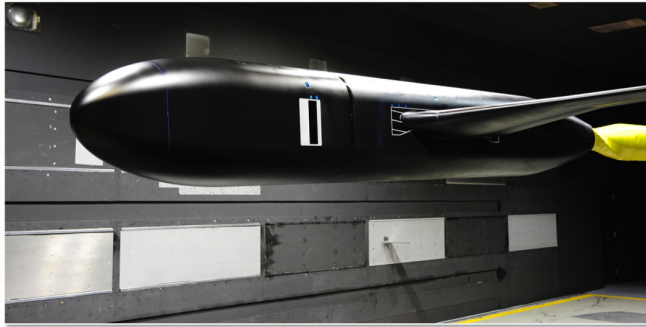
*NodePy: A package for the analysis of numerical ODE solvers*

## Sandia National Laboratories, USA

*Szuperszámítógépes szimulációk*

## CFD szimuláláshoz

*H. Ranocha, L. Dalcin, M. Parsani, D. Ketcheson: Optimized Runge–Kutta Methods with Automatic Step Size Control for Compressible Computational Fluid Dynamics, arXiv:2104.06836v1, 2021. április*



ábra. [https://turbmodels.larc.nasa.gov/Other\\_exp\\_Data/junctureflow\\_exp.html](https://turbmodels.larc.nasa.gov/Other_exp_Data/junctureflow_exp.html)

## Juncture flow

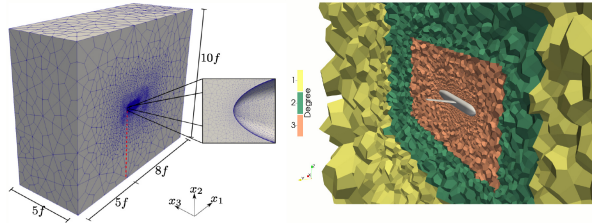


Figure 8.: Solution polynomial degree distribution, computational domain and boundary mesh elements for the NASA juncture experiment [55];  $f$  is the fuselage length.

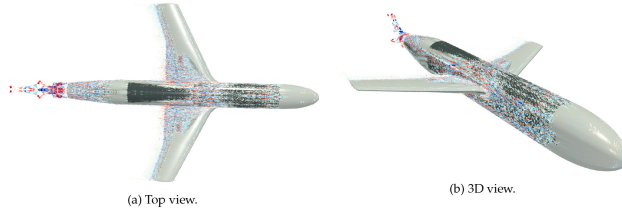


Figure 9.: Q-criterion colored by the velocity magnitude of the NASA juncture flow.

PROGRAM  
FINANCED FROM  
THE NRDI FUND

HUNGARI

*Juncture flow*

Table 8.: Performance of different methods for error and CFL-based step size controllers: Number of function evaluations (#FE), rejected steps (#R), and wall-clock time in seconds for the NASA juncture flow problem.

Scheme	$\beta$	$\text{tol}/\nu$	#FE	#R	Wall-clock time (s)
BS3(2)3 <sub>F</sub>	(0.60, -0.20, 0.00)	$\text{tol} = 10^{-8}$	1786	1	586.49
		$\nu = 1.0$	3598		1171.60
SSP3(2)4[3S* <sub>+</sub> ]	(0.55, -0.27, 0.05)	$\text{tol} = 10^{-8}$	1172	1	376.18
		$\nu = 1.0$	2340		747.45
RK3(2)5 <sub>F</sub> [3S* <sub>+</sub> ]	(0.70, -0.23, 0.00)	$\text{tol} = 10^{-8}$	1527	1	496.58
		$\nu = 1.0$	3056		991.35
RK4(3)9[3S* <sub>+</sub> ]	(0.25, -0.12, 0.00)	$\text{tol} = 10^{-8}$	1467	1	469.20
		$\nu = 1.0$	2862		912.17
RK5(4)10 <sub>F</sub> [3S* <sub>+</sub> ]	(0.45, -0.13, 0.00)	$\text{tol} = 10^{-8}$	1864	3	597.06
		$\nu = 1.0$	3661		1170.10

## *McLaren 17D első terelőszárny*

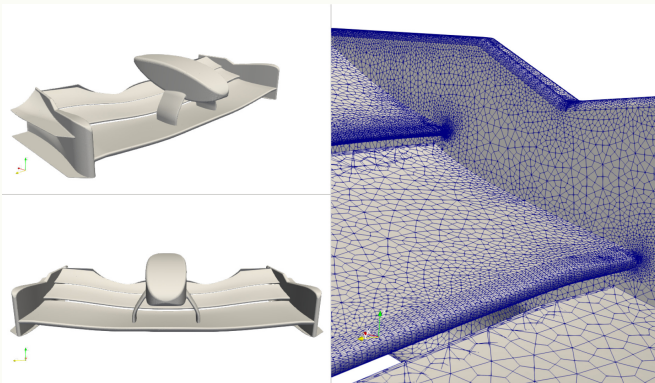
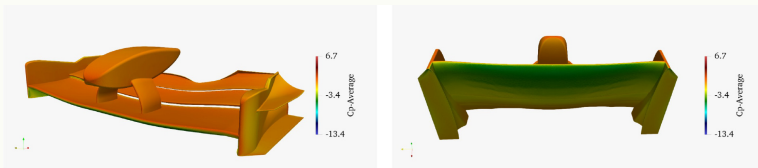


Figure 10.: Overview of the Imperial Front Wing.

## *McLaren 17D első terelőszárny*



(a) Top.

(b) Bottom.

Figure 11.: Time-averaged pressure coefficient,  $C_p$ , on the surface of the Imperial Front Wing.

*McLaren 17D első terelőszárny*Table 9.: Performance of different methods for error and CFL-based step size controllers: Number of function evaluations (#FE), rejected steps (#R), and wall-clock time in seconds for the Imperial Front Wing using polynomials of degree  $p = 2$ .

Scheme	$\beta$	$\text{tol}/\nu$	#FE	#R	Wall-clock time (s)
BS3(2)3 <sub>F</sub>	(0.60, -0.20, 0.00)	$\text{tol} = 10^{-8}$	3973	0	2699.9
		$\nu = 1.0$	7678		5188.4
SSP3(2)4[3S* <sub>+</sub> ]	(0.55, -0.27, 0.05)	$\text{tol} = 10^{-8}$	2980	0	1971.5
		$\nu = 1.0$	4992		3298.9
RK3(2)5 <sub>F</sub> [3S* <sub>+</sub> ]	(0.70, -0.23, 0.00)	$\text{tol} = 10^{-8}$	3400	4	2277.8
		$\nu = 1.0$	6516		4362.3
RK4(3)9[3S* <sub>+</sub> ]	(0.25, -0.12, 0.00)	$\text{tol} = 10^{-8}$	3195	1	2115.2
		$\nu = 1.0$	6111		4046.1
RK5(4)10 <sub>F</sub> [3S* <sub>+</sub> ]	(0.45, -0.13, 0.00)	$\text{tol} = 10^{-8}$	4094	3	2714.1
		$\nu = 1.0$	7811		5186.8

# *Köszönöm a figyelmet!*

*Az ED\_18-1-2019-0030 szerződésszámú projekt (Alkalmazásiterület-specifikus nagy megbízhatóságú informatikai megoldások tématerület) a Nemzeti Kutatási Fejlesztési és Innovációs Alapból biztosított támogatással, a Tématerületi kiválósági program finanszírozásában valósult meg.*